

# **La diffusion Compton profondément virtuelle à COMPASS**

**Marie Boër**

**direction E. Burtin (SPhN) et M. Guidal (IPNO)**

**3 juillet 2013**

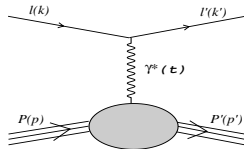
# Motivations: la structure du nucléon

~ 1950

Diffusion élastique

facteurs de forme  $G_{E,M}(t)$

**distribution de charge E, M**



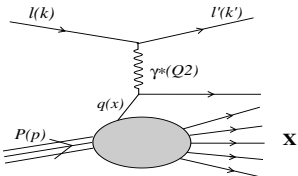
~ 1970

Diff. profondément inélastique

fonctions de structure  $F_{1,2}(x)$

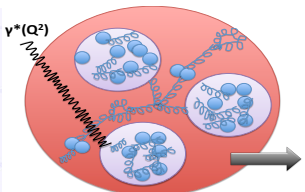
**distribution de partons q(x)**

impulsion longitudinale  $x$



Modèle des partons: quarks+gluons  
évolution résolution  $Q^2$

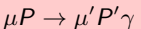
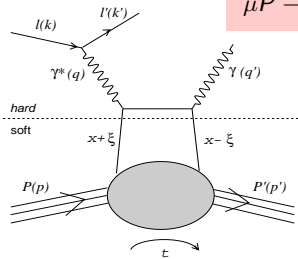
$F_{1,2}(x, Q^2) \rightarrow q, g(x, Q^2)$



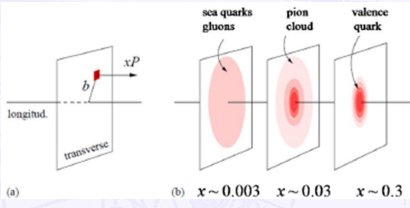
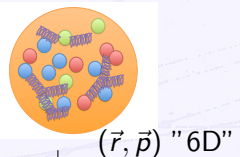
# Passons en 3D...

... avec les processus exclusifs

DVCS= Diffusion Compton profondément virtuelle



$(r_\perp, p_{/\!/})$  "3D"



facteurs forme Compton  $\mathcal{H}$ ...

Distributions Partons Généralisées  $H(x, \xi, t)$ ...

limite prof. inélastique  
 $H^q(x, \xi \rightarrow 0, t \rightarrow 0)$   
 $= q(x)$

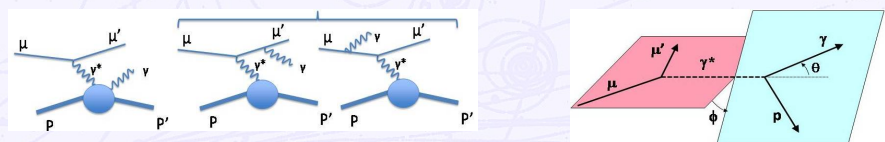
limite élastique  
 $\int_{-1}^1 dx H^q(x, \xi, t)$   
 $=$  facteur forme

\*  $H(x, \xi = 0, t = -\Delta_\perp^2) \rightarrow H(x, b_\perp)$   
 $x:$  "type de parton"

$$* \frac{d\sigma^{DVCS}}{dt} \rightarrow r_\perp$$

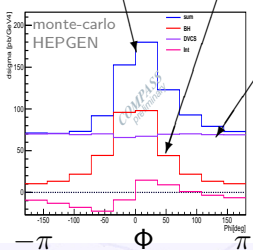
# Mesure du DVCS

Production "exclusive" d'un  $\gamma = \text{DVCS} + \text{Bethe-Heitler} + \text{Int.}$



COMPASS =  $\mu^{+\leftarrow}$  et  $\mu^{-\rightarrow}$      $e_\ell$  : charge  $\ell$ ,  $P_\ell$ : hélicité  $\ell$

$$\frac{d^4 \sigma(\ell P \rightarrow \ell' P' \gamma)}{dx_{bj} dQ^2 dt |t| d\phi} / E_\ell = d\sigma^{BH} + (d\sigma_{unpol}^{DVCS} + P_\ell d\sigma_{pol}^{DVCS}) + e_\ell (\mathcal{R}e \text{ Int.} + P_\ell \mathcal{I}m \text{ Int.})$$



$$d\sigma_{\gamma}^{\mu^{+\leftarrow}, u} + d\sigma_{\gamma}^{\mu^{-\rightarrow}, u} \propto BH + DVCS_{unpol} + \mathcal{I}m(\text{Int})$$

$$d\sigma_{\gamma}^{\mu^{+\leftarrow}, u} - d\sigma_{\gamma}^{\mu^{-\rightarrow}, u} \propto DVCS_{pol} + \mathcal{R}e(\text{Int})$$

$$\mathcal{I}m(\text{Int}) = \dots \sin\phi$$

$$\mathcal{R}e(\text{Int}) = \dots \cos\phi$$

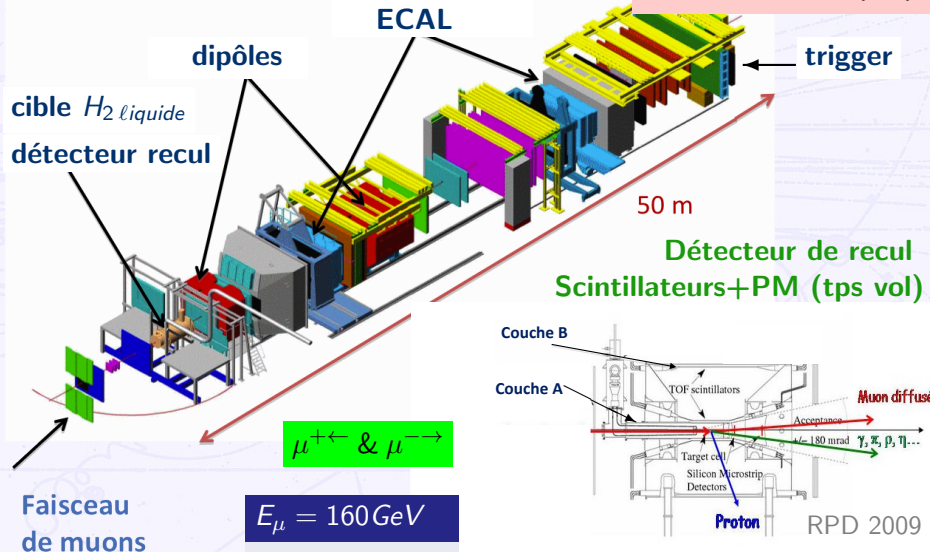
$$\int d\Phi \frac{d\sigma^{DVCS}}{dt} \rightarrow r_\perp$$

$$\mathcal{I}m \mathcal{H} \propto H(\xi, \bar{\xi}, t) \dots$$

$$\mathcal{R}e \mathcal{H} \propto \int dx \mathbf{H}(x, \xi, t) \left( \frac{1}{\xi-x} - \frac{1}{\xi+x} \right)$$

# COMPASS au CERN @SPS (2009)

## ❖ Le Spectromètre COMPASS

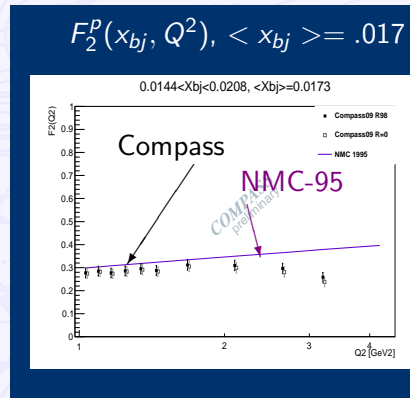
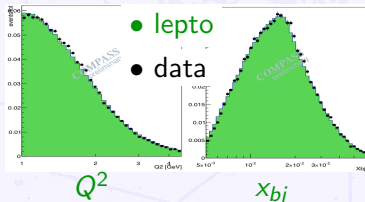


# Normalisation et mesure de $F_2^p(x_{bj}, Q^2)$

$$\frac{d^2\sigma_{1\gamma}(x, Q^2, E)}{dx dQ^2} = F_2(x, Q^2) \cdot \frac{4\pi\alpha^2}{x \cdot Q^4} \cdot \left\{ 1 - y - \frac{Q^2}{4E^2} + \left(1 - \frac{2m^2}{Q^2}\right) \cdot \frac{y^2 + Q^2/E^2}{2(1+R(x, Q^2))} \right\}$$

- ★ Validation mesure  $\mathcal{L}_{eff} = 2.48 pb^{-1}$  (5.6%)
- ★ Domaine validité  $x_{bj} \simeq x$  et  $Q^2$

1. Géométrie (vertex, impacts, bords...)
2. Cinématique
3. Corrections radiatives  $\frac{\sigma_{1\gamma}}{\sigma_{mes}}(x_{bj}, y)$
4. Paramètres Monte-Carlo
5. Acceptance
6. Normalisation, systématiques



petit  $Q^2$ : écart  $\ll \delta(stat + sys)$  DVCS  
grand  $Q^2$ : acceptance sur-estimée

# Sélection des processus exclusifs $\mu P \rightarrow \mu' P' \gamma$

- 1 Topologie: coïncidence  $\mu' P' \gamma$
- 2 Cinématique
- 3 "Exclusivité": 5 observables

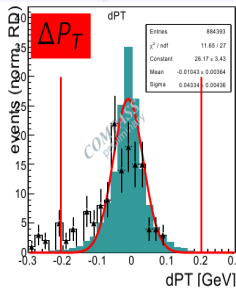
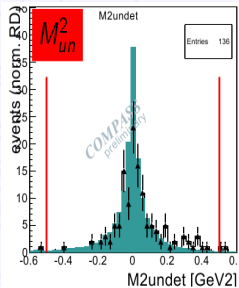
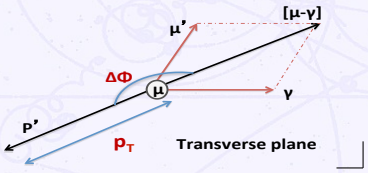
\* bilan en masse et en énergie

$$(\mu P) - (\mu' P' \gamma) \rightarrow M_{\text{undet}}^2 E_{\text{undet}}$$

\* bilan en impulsion

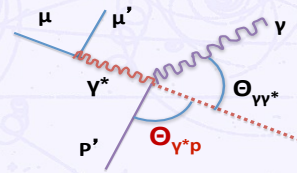
$$\Delta\phi \pm \pi$$

$$\Delta P_T$$

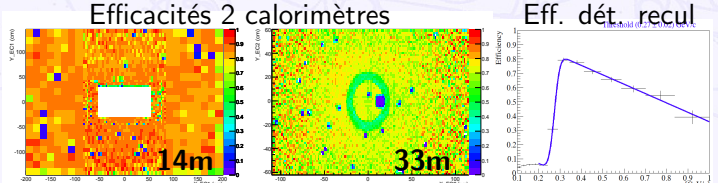
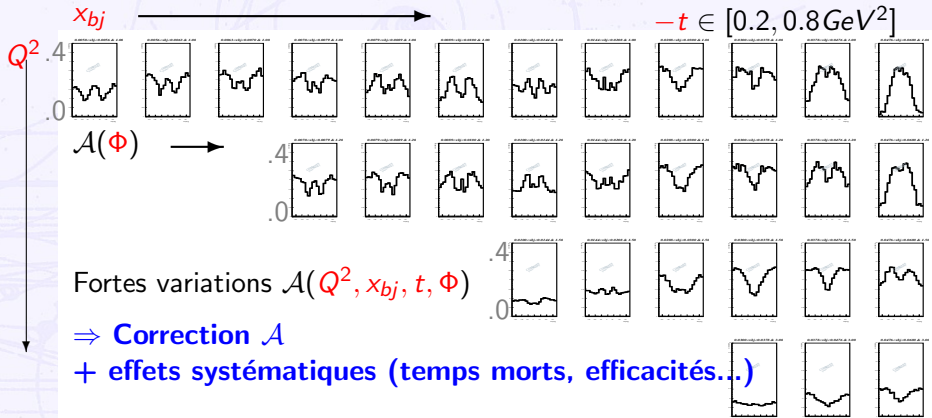


\* état final  $\gamma^* P \rightarrow \gamma P'$

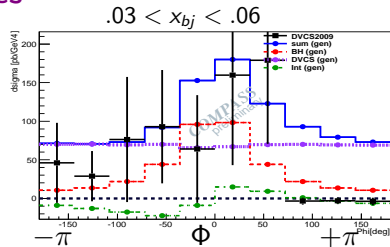
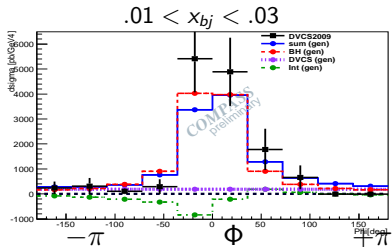
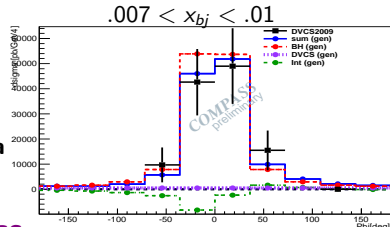
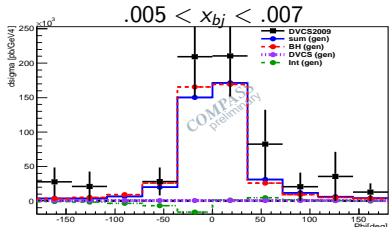
$$\Delta \cos\theta_{\gamma^* P}$$



# Acceptance (DVCS+BH)



# Section efficace DVCS+Bethe-Heitler



$$-t \in [0.06; 0.8 \text{ GeV}^2] \text{ et } Q^2 \in [1; 4.5 \text{ GeV}^2]$$

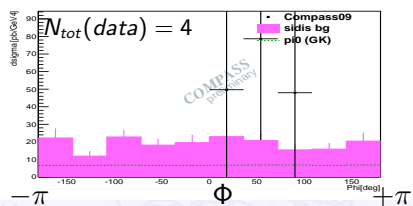
- petit  $x_{bj}$ :  $d\sigma^{BH}$
- grand  $x_{bj}$ :  $d\sigma^{DVCS+BH} \rightarrow$  modèle (FFS) compatible

# Systématiques et production exclusive de $\pi^0$

## Contaminations au DVCS+BH (grand $x_{bj}$ )

- ★ (semi-inclusif, lepto)  $\mu P \rightarrow \mu' P' + \pi^0, \eta \dots \rightarrow (\mu' P' \gamma) + X$  [ $\sim 8\%$ ]
- ★ ( $\pi^0$  exclusif, GK)  $\mu P \rightarrow \mu' P' \pi^0 \rightarrow (\mu' P' \gamma) + \gamma$  [ $< 2\%$ ]
- ★ diffraction cible  $\mu P \rightarrow \mu' P^* \gamma \rightarrow (\mu' P' \gamma) + X$  [ $\ll 1\%$ ]

## Section efficace $\pi^0$ exclusif



$$x_{bj} \in [0.03; 0.06], -t \in [0.06; 0.8 \text{ GeV}^2], Q^2 \in [1; 4.5 \text{ GeV}^2]$$

$$d\sigma^{\pi^0}/dx_{bj}.dQ^2.dt.d\Phi < 8.2 \text{ pb.GeV}^{-4} (1\sigma)$$

- Bruit semi-inclusif important ( $\pi^0 + X$ )
- Modèle (GK,  $7.8 \text{ pb.GeV}^{-4}$ ) compatible

Incertitudes	$\delta\sigma^{DVCS+BH}$
luminosité	5.6 %
$\epsilon$ ECAL	10 %
$\epsilon$ proton	5 %
$\epsilon$ tracking	3 %
$\epsilon$ trigger	2 %
coincidences triggers	1 %
taux occupation	1 %
Correction acceptance	$\ll 1\%$
soustraction bruit	< 0.2 %
total	$\sim 13\%$

# Conclusion & Perspectives

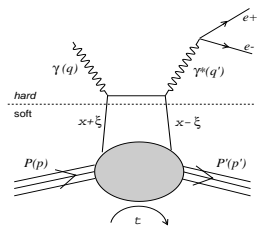
## Etude DVCS à COMPASS

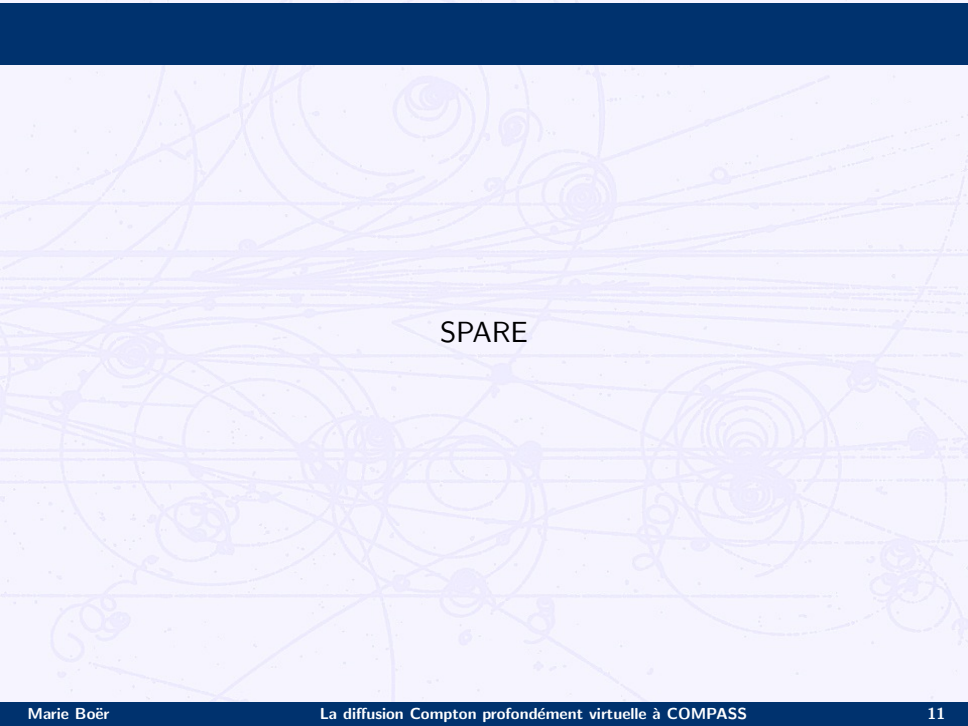
- Luminosité,  $F_2(x_{bj}, Q^2)$  et amplitude Bethe-Heitler
- Sections efficaces: DVCS+Bethe-Heitler et  $\pi^0$  exclusif

⇒ 1<sup>ère</sup> mesure de sections efficaces pour COMPASS-II

## Perspectives: diffusion Compton "time-like" à JLAB

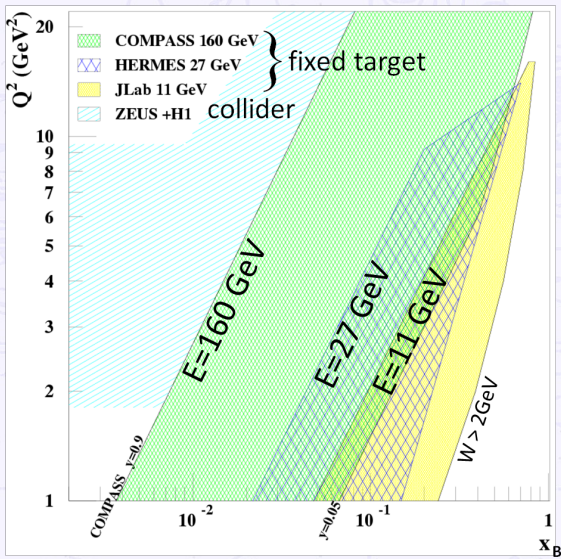
- Mesures 6GeV
- Accès GPD, partie  $\Re \mathcal{H}$
- Observables + extraction GPD



The background of the slide features a complex, abstract geometric pattern. It consists of numerous thin, light blue lines that form concentric circles and radiate outwards from various points across the frame. Some lines are solid, while others are dashed, creating a sense of depth and motion.

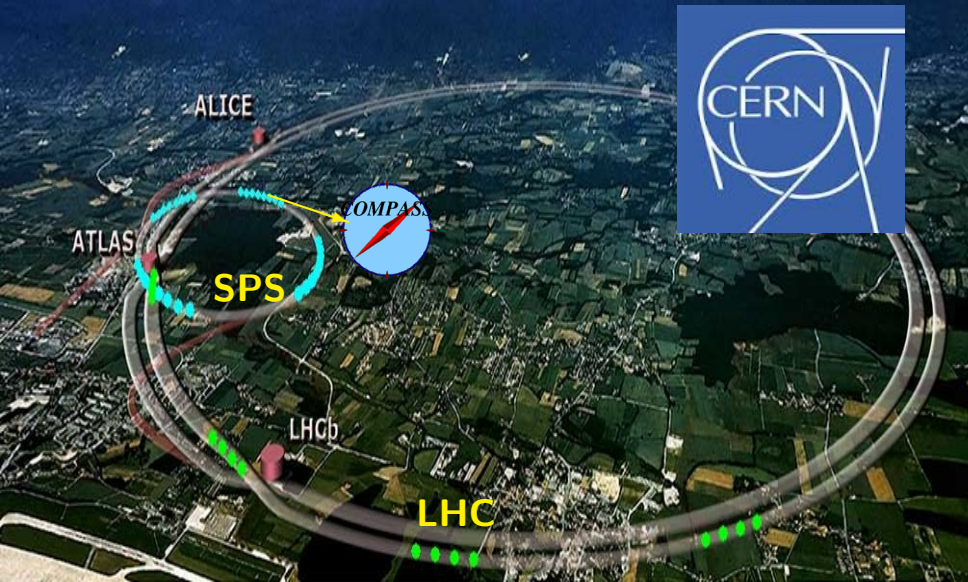
SPARE

# Situation expérimentale actuelle & future



- ★ Résultats publiés:
    - H1, ZEUS, HERMES
    - JLAB 6GeV
  - ★ Futur:
    - JLAB 12GeV
    - COMPASS-II  $\mu^+ \mu^- 160 \text{ GeV}$
- Domaines complémentaires

# COMPASS au CERN



## Proposition d'expérience COMPASS-II, processus exclusifs: 2016-2017

### Données test 2009

- 10 jours, dispositif non optimisé
- Cible 40cm + petit détecteur recul

Mise en place méthode  
Optimisation paramètres  
Test faisabilité mesure  
 $1^{\text{ere}}$  mesure  $\sigma^{DVCS}$

### Données test 2012

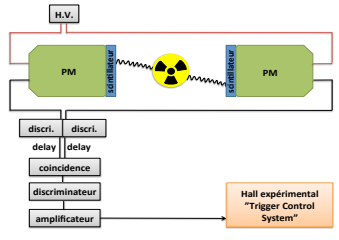
- 1 mois, test dispositif "final"
- Cible 2.5m + détecteur recul CAMERA
- plus grande couverture cinématique

Validation expérience  
Mesure plus précise

# Normalisation des données

Luminosité effective avec déclenchements aléatoires

$$\mathcal{L}_{\text{eff}} = \mathcal{L} * \tau^{\text{DAQ}} * \tau^{\text{veto}} * \epsilon^{\text{muon}} = \mathcal{F}_{\text{eff}} * N_{\text{cible}}$$



(luminosité intégrée)

$$\mathcal{L}_{\text{eff}}^{\mu^+} = 2.48 \text{ pb}^{-1} (5.6\%)$$

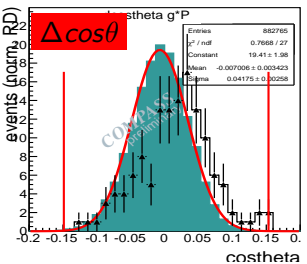
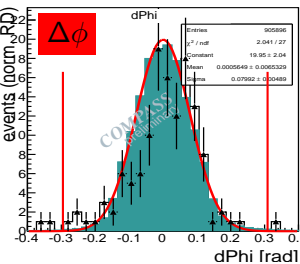
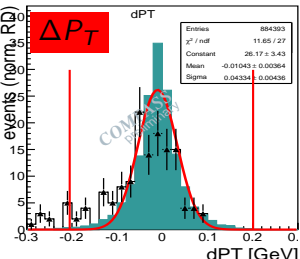
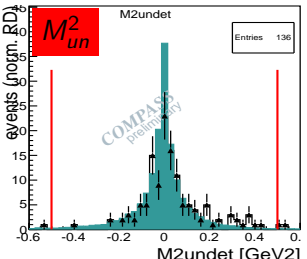
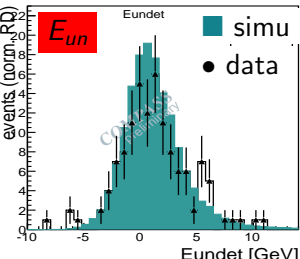
$$\mathcal{L}_{\text{eff}}^{\mu^-} = 0.787 \text{ pb}^{-1} (5.5\%)$$

$$\mathcal{F} \propto N_\mu / \text{temps} / S_{\text{cible}}$$

- ouverture trigger  $\Delta t_{\text{trigger}}$
- faisceau:  $(E, p)$ ,  $\theta$ , impacts...
- correction temps morts...
- $\int dt [N_\mu / \text{trigger}] * N_{\text{cible}}$

Incertitudes	% ( $\mu^+$ )	% ( $\mu^-$ )
stat.	$\sim 0.01$	$\sim 0.1$
$N_{\text{cible}}$	5.0	5.0
taux veto	2.0	2.0
reconstruction traces	1.0	1.0
structure faisceau	0.8	0.3
coincidences triggers	0.3	0.2
total	5.6	5.5

# Variables d'exclusivité $\mu P \rightarrow \mu' P' \gamma$



## Sélections

$\Delta P_T < 0.2 \text{ GeV}$

$\Delta \cos\theta < 0.15$

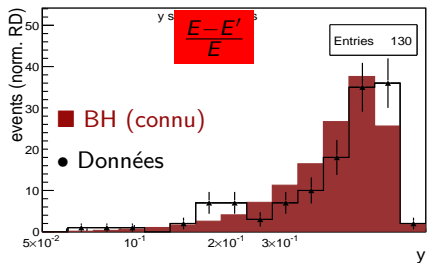
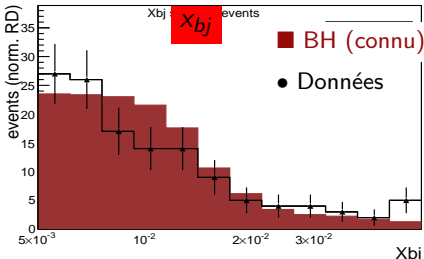
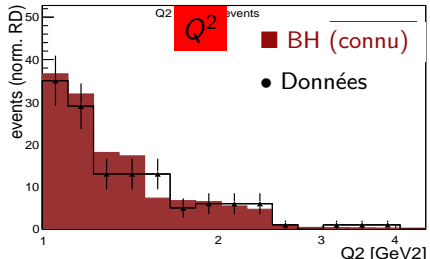
$\Delta\phi < 0.3 \text{ rad}$

$M_{un}^2 < 0.5 \text{ GeV}^2$

$E_{un}$ : aucune

- Accord données/Monte-Carlo: permet définir sélections

# Validation simulation: données vs Bethe-Heitler



Cinématique du Bethe-Heitler reproduite dans le Monte-Carlo

# Taux de comptage bruit de fond

## Contaminations DVCS+BH: taux comptage

